

8.4: Théorème de l'énergie pour un solide

1) La variation de l'énergie cinétique est égale au travail des forces extérieures

$$W_{12} = \int_1^2 \vec{F}^{ext} \cdot d\vec{r} = K_2 - K_1$$

Les forces intérieures ne travaillent pas. Pour chaque couple de points i, j du solide on a que

$$\vec{F}_{j,i} = -\vec{F}_{i,j}$$
 (3eme loi de Newton), donc:

$$\vec{F}_{i,j} \cdot d\vec{r}_i + \vec{F}_{j,i} \cdot d\vec{r}_j = (\vec{F}_{i,j} + \vec{F}_{j,i}) \cdot d\vec{r} = (\vec{F}_{i,j} - \vec{F}_{i,j}) \cdot d\vec{r} = 0$$

$d\vec{r} = d\vec{r}_i = d\vec{r}_j$: dans un solide indéformable les distances sont maintenues

2) Si il n'y a que des **forces conservatives** qui travaillent, alors
l'énergie mécanique est conservée

$$E = K + V(\vec{r}) = \text{constante}$$

$$\vec{F} = - \begin{pmatrix} \frac{\partial V(\vec{r})}{\partial x} \\ \frac{\partial V(\vec{r})}{\partial y} \\ \frac{\partial V(\vec{r})}{\partial z} \end{pmatrix} = -\vec{\nabla}V(\vec{r})$$

8.4 Energie cinétique d'un solide

- Pour un point A quelconque du solide:

$$E_{\text{cin}} = \frac{1}{2} M \vec{v}_A^2 + M \vec{v}_A \cdot (\vec{\omega} \wedge \overrightarrow{AG}) + \frac{1}{2} \vec{\omega} \cdot (\tilde{I}_A \cdot \vec{\omega})$$

N.B.: pour chaque point P, A du solide

$$\vec{v}_P = \frac{d}{dt}(\vec{r}_A + \overrightarrow{AP}) = \vec{v}_A + \vec{\omega} \wedge \overrightarrow{AP}$$

$$(\vec{a} \wedge \vec{b})^2 = a^2 b^2 \sin^2 \alpha$$

$$(\vec{a} \cdot \vec{b})^2 = a^2 b^2 \cos^2 \alpha$$

$$\Rightarrow (\vec{a} \wedge \vec{b})^2 + (\vec{a} \cdot \vec{b})^2 = a^2 b^2$$

$$(\tilde{I}_G)_{ij} =$$

$$\sum_{\alpha} m_{\alpha} [(\overrightarrow{GP}_{\alpha})^2 \delta_{ij} - (GP_{\alpha})_i (GP_{\alpha})_j]$$

$$\begin{aligned} E_{\text{cin}} &= \sum_{\alpha} \frac{1}{2} m_{\alpha} \vec{v}_{\alpha}^2 = \frac{1}{2} \sum_{\alpha} m_{\alpha} \left(\vec{v}_A + \vec{\omega} \wedge \overrightarrow{AP}_{\alpha} \right)^2 \\ &= \frac{1}{2} M \vec{v}_A^2 + M \vec{v}_A \cdot (\vec{\omega} \wedge \overrightarrow{AG}) + \frac{1}{2} \sum_{\alpha} m_{\alpha} \left(\vec{\omega} \wedge \overrightarrow{AP}_{\alpha} \right)^2 \\ \frac{1}{2} \sum_{\alpha} m_{\alpha} \left(\vec{\omega} \wedge \overrightarrow{AP}_{\alpha} \right)^2 &= \frac{1}{2} \sum_{\alpha} m_{\alpha} \left[\vec{\omega}^2 \left(\overrightarrow{AP}_{\alpha} \right)^2 - \left(\vec{\omega} \cdot \overrightarrow{AP}_{\alpha} \right)^2 \right] \\ &= \frac{1}{2} \sum_{\alpha} m_{\alpha} \left[\sum_{i,j} \omega_i \omega_j \delta_{ij} \left(\overrightarrow{AP}_{\alpha} \right)^2 - \sum_{i,j} \omega_i \omega_j (AP_{\alpha})_i (AP_{\alpha})_j \right] \\ &= \frac{1}{2} \sum_{i,j} \omega_i \omega_j \sum_{\alpha} m_{\alpha} \left[\left(\overrightarrow{AP}_{\alpha} \right)^2 \delta_{ij} - (AP_{\alpha})_i (AP_{\alpha})_j \right] \\ &= \frac{1}{2} \sum_{i,j} \omega_i \omega_j (\tilde{I}_A)_{ij} = \frac{1}{2} \vec{\omega} \cdot (\tilde{I}_A \cdot \vec{\omega}) \end{aligned}$$

8.4 Energie cinétique d'un solide

- Pour un point A quelconque du solide:

$$E_{\text{cin}} = \frac{1}{2} M \vec{v}_A^2 + M \vec{v}_A \cdot (\vec{\omega} \wedge \overrightarrow{AG}) + \frac{1}{2} \vec{\omega} \cdot (\tilde{I}_A \cdot \vec{\omega})$$

Notation:
 $E_{cjin} = K$

Cas particuliers

$$\text{- Si } \vec{v}_A = 0 \quad \Rightarrow \quad E_{cin} = \frac{1}{2} \vec{\omega} \cdot \tilde{I}_A \cdot \vec{\omega} = \frac{1}{2} \vec{\omega} \cdot \tilde{I}_{\Delta_A} \omega \hat{e}_{\Delta} = \frac{1}{2} \tilde{I}_{\Delta_A} \omega^2$$

$$\begin{array}{ccc}
 - \text{ Si } A = G & \xrightarrow{\hspace{1cm}} & E_{cin} = \frac{1}{2} M v_g^2 + \frac{1}{2} \tilde{I}_{\Delta_G} \omega^2 \\
 M \vec{v}_G \cdot (\vec{\omega} \wedge \overrightarrow{GG}) = 0 & & \xleftarrow{\hspace{1cm}}
 \end{array}
 \qquad \qquad \qquad
 \begin{array}{c}
 K = K^* + \frac{1}{2} M v_g^2 \\
 K^* = \frac{1}{2} \tilde{I}_{\Delta_G} \omega^2
 \end{array}$$

2eme théorème de König

8.4: Yoyo: solution 1

Quelle est la vitesse du centre de masse G quand le yoyo est tombé d'une hauteur h ?

- Equations du mouvement :

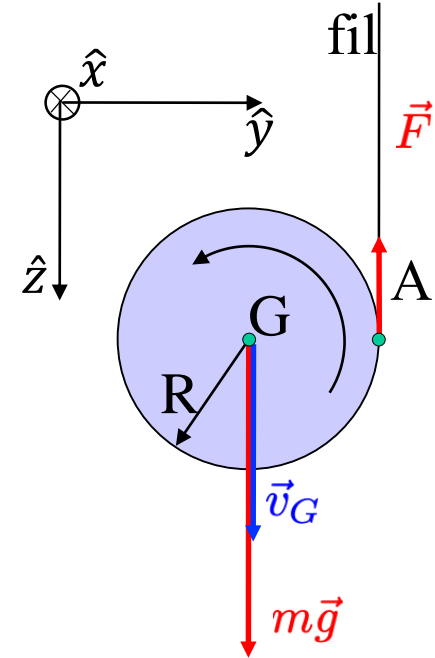
$$\frac{d\vec{L}_G}{dt} = \vec{M}_G = -RF\hat{x} \quad \Rightarrow \quad -RF\hat{x} = \frac{d(-I_G\omega\hat{x})}{dt} = -I_G\dot{\omega}\hat{x} = -\frac{1}{2}mR^2\frac{a_G}{R}\hat{x}$$



$$F = \frac{1}{2}ma_G$$

$$F = mg - ma_G \quad \Rightarrow \quad a_G = \frac{2}{3}g$$

$$m\vec{a}_G = m\vec{g} + \vec{F} \quad \Rightarrow \quad$$



- Conditions initiales (à $t = 0$) : $v_G = 0$ $z = 0$
- Solution :

$$v_G(t) = a_G t$$

$$z(t) = \frac{1}{2}a_G t^2$$

$$v_G(z) = \sqrt{2a_G z} \quad \Rightarrow \quad v_G(h) = \sqrt{\frac{4}{3}gh}$$

8.4: Yoyo: solution 2

Le poids est conservatif et \vec{F} ne travaille pas

\Rightarrow le problème peut être résolu par la conservation de l'énergie :

$$K_{in} + V_{in} = K_{fin} + V_{fin}$$

$$K_{in} = 0 \quad V_{in} = mgz(0) = 0 \quad V_{fin} = -mgz$$

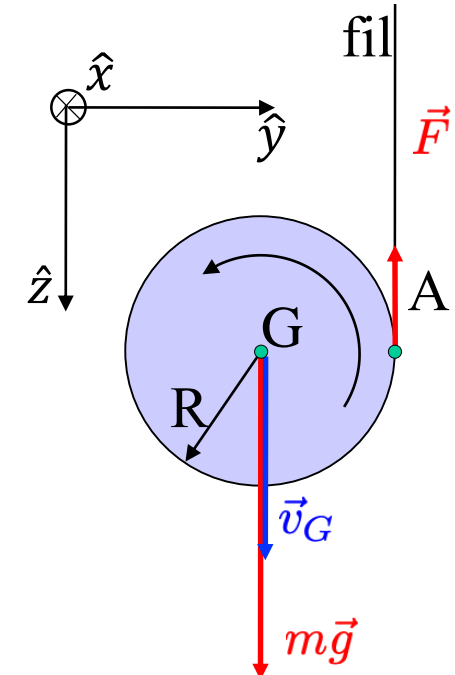
Par rapport à G

$$\begin{aligned} K_{fin} &= \frac{1}{2}mv_G^2 + \frac{1}{2}I_G\omega^2 = \\ &= \frac{1}{2}mv_G^2 + \frac{1}{2}\left(\frac{1}{2}mR^2\right)\left(\frac{v_G}{R}\right)^2 = \frac{3}{4}mv_G^2 \end{aligned}$$

Par rapport à A

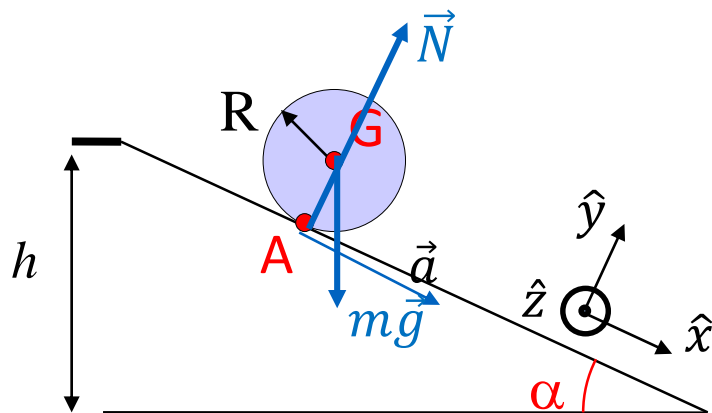
$$\begin{aligned} K_{fin} &= \frac{1}{2}I_A\omega^2 = \\ &= \frac{1}{2}\left(\frac{1}{2}mR^2 + mR^2\right)\left(\frac{v_G}{R}\right)^2 = \frac{3}{4}mv_G^2 \end{aligned}$$

$$\frac{3}{4}mv_G^2 - mgz = 0 \quad \Rightarrow \quad v_G(h) = \sqrt{\frac{4}{3}gh}$$



8.4-8.5: Glissement vs. Roulement

A quelle vitesse les deux sphères arrivent au fond de la pente de longueur L ?



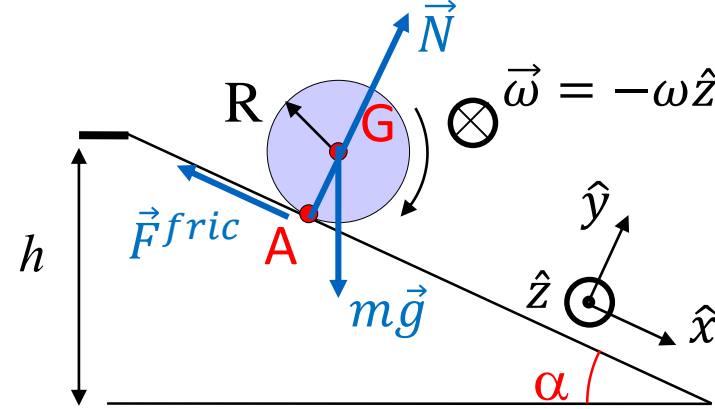
La sphère qui glisse descend avec une accélération

$$a_G = g \sin \alpha$$

$$L = \frac{h}{\sin \alpha} = \frac{1}{2} a_g t^2$$

$$v_G = a_G t$$

$$v_G = \sqrt{2L a_G} = \sqrt{2Lg \sin \alpha} = \sqrt{2gh}$$



sphère qui roule (sans glisser): théorème du moment cinétique appliqué en A

$$v_G = \omega R \quad \vec{L}_A = I_A \vec{\omega}$$

$$\frac{d\vec{L}_A}{dt} = -I_A \dot{\omega} \hat{z} = -I_A \frac{a_G}{R} \hat{z}$$

$$\frac{d\vec{L}_A}{dt} = \vec{M}_A^{ext}$$

$$a_G = \frac{5}{7} g \sin \alpha$$

$$I_A = I_{GZ} + mR^2 = \frac{7}{5} mR^2$$

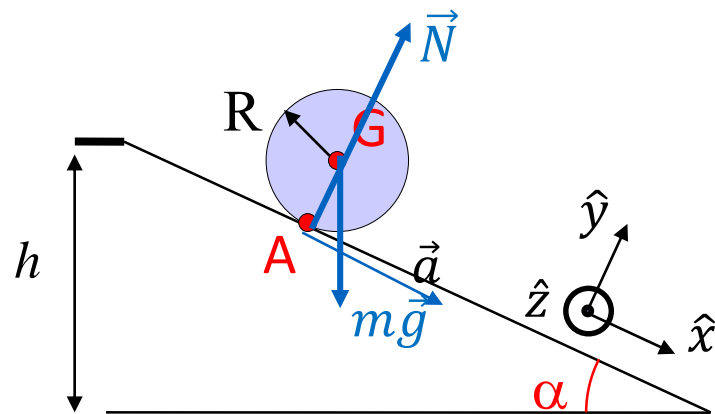
$$(I_{GZ} = \frac{2}{5} mR^2)$$

$$\Rightarrow \begin{cases} 0 = 0 \\ 0 = 0 \\ -\frac{7}{5} mRa_G = -Rmg \sin \alpha \end{cases}$$

$$v_G = \sqrt{2L a_G} = \sqrt{\frac{10}{7} Lg \sin \alpha} = \sqrt{\frac{10}{7} gh}$$

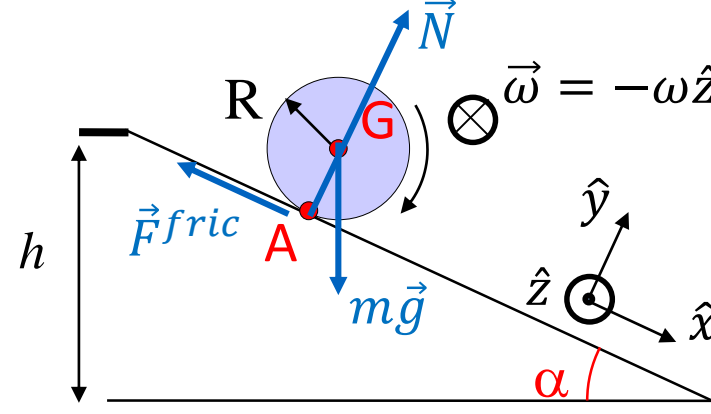
8.4-8.5: Glissement vs. Roulement

A quelle vitesse les deux sphères arrivent au fond de la pente de longueur L ?



La sphère qui glisse:

- $\vec{N} \perp d\vec{r}$ donc ne travaille pas
- $m\vec{g}$ est conservative



sphère qui roule (sans glisser):

- $\vec{N} \perp d\vec{r}$ donc ne travaille pas
- \vec{F}^{fric} ne travaille pas parce que $v_A = 0$
- $m\vec{g}$ est conservative

- Energie mécanique totale est conservée: $E_{tot} = E_{cin} + E_{pot} = K + V = const$

$$K_i = 0 \quad K_f = \frac{1}{2}mv_G^2$$

$$V_i = 0 \quad V_f = -mgh$$

$$\frac{1}{2}mv_G^2 - mgh = 0$$

$$v_G = \sqrt{2gh}$$

Par rapport à G :

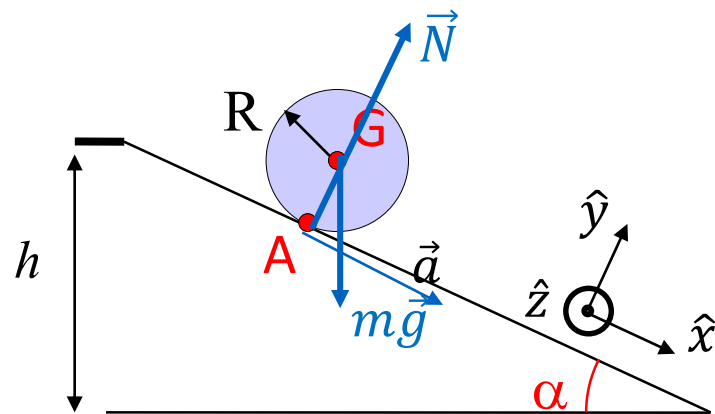
$$K = K^* + \frac{1}{2}Mv_G^2 \quad (I_{Gz} = \frac{2}{5}mR^2; v_G = \omega R)$$

$$K^* = \frac{1}{2}\tilde{I}_{\Delta G}\omega^2 \quad K_f = \frac{1}{2}mv_G^2 + \frac{1}{2}I_{Gz}\omega^2 = \frac{1}{2}(1 + \frac{2}{5})mv_G^2$$

$$\frac{7}{10}mv_G^2 - mgh = 0 \quad \rightarrow \quad v_G = \sqrt{10/7gh}$$

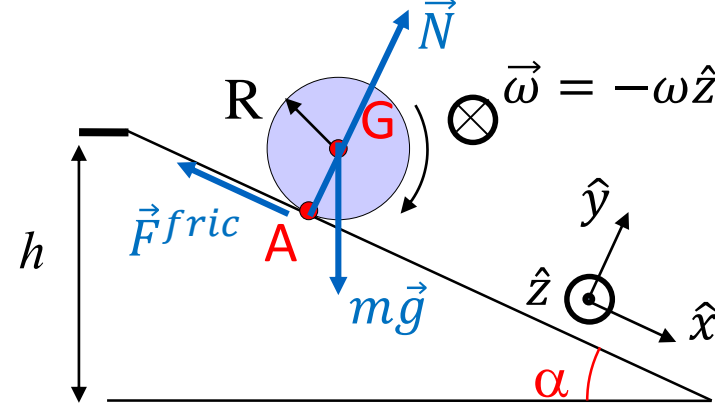
8.4-8.5: Glissement vs. Roulement

A quelle vitesse les deux sphères arrivent au fond de la pente de longueur L ?



La sphère qui glisse:

- $\vec{N} \perp d\vec{r}$ donc ne travaille pas
- $m\vec{g}$ est conservative



sphère qui roule (sans glisser):

- $\vec{N} \perp d\vec{r}$ donc ne travaille pas
- \vec{F}^{fric} ne travaille pas parce que $v_A = 0$
- $m\vec{g}$ est conservative

- Energie mécanique totale est conservée: $E_{tot} = E_{cin} + E_{pot} = K + V = const$

$$K_i = 0 \quad K_f = \frac{1}{2}mv_G^2$$

$$V_i = 0 \quad V_f = -mgh$$

$$\frac{1}{2}mv_G^2 - mgh = 0$$

$$v_G = \sqrt{2gh}$$

$$K_i = 0 \quad V_i = 0 \quad V_f = -mgh$$

Par rapport à A: $\vec{v}_A = 0$

$$K_f = \frac{1}{2}\tilde{I}_{\Delta A}\omega^2$$

$$I_A = I_{GZ} + mR^2 = \frac{7}{5}mR^2$$

$$(I_{GZ} = \frac{2}{5}mR^2; v_G = \omega R)$$

$$\frac{7}{10}mv_G^2 - mgh = 0 \quad \rightarrow \quad v_G = \sqrt{10/7gh}$$

8.6: Dynamique du solide avec axe fixe

- Quand un axe de rotation Δ est fixe (et qu'on ne s'intéresse pas aux forces et moments qui maintiennent cet axe fixe), il est utile de projeter le théorème du moment cinétique sur cet axe:

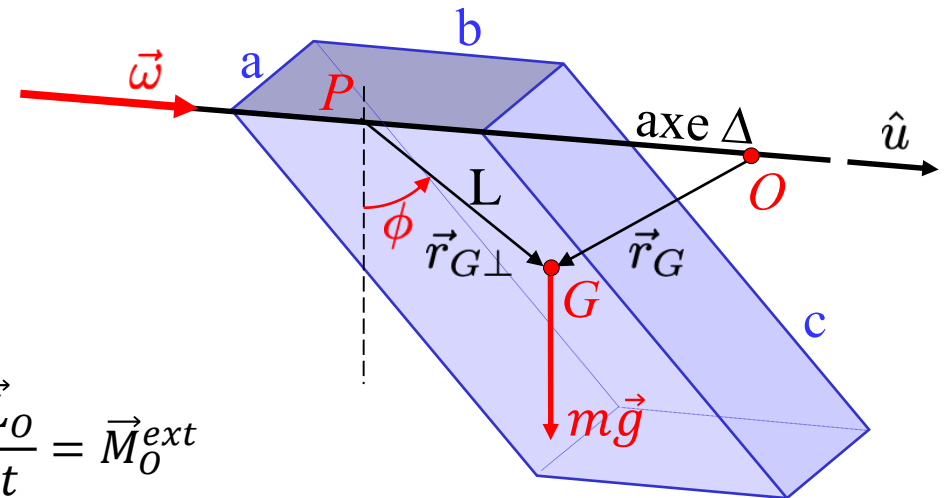
- Pour tout point O sur l'axe Δ de direction \hat{u}

$$\begin{aligned} \frac{d}{dt} \vec{L}_O &= \vec{M}_O^{\text{ext}} \\ \Rightarrow \frac{d}{dt} (\vec{L}_O \cdot \hat{u}) &= \vec{M}_O^{\text{ext}} \cdot \hat{u} \\ \Rightarrow \frac{d}{dt} (I_{\Delta} \omega) &= \sum_{\alpha} (\vec{r}_{\alpha} \wedge \vec{F}_{\alpha}^{\text{ext}}) \cdot \hat{u} \\ \Rightarrow I_{\Delta} \dot{\omega} &= \sum_{\alpha} (\vec{r}_{\alpha, \perp} \wedge \vec{F}_{\alpha, \perp}^{\text{ext}}) \cdot \hat{u} \end{aligned}$$

où $\vec{r}_{\alpha, \perp}$ et $\vec{F}_{\alpha, \perp}$ sont les composantes de \vec{r}_{α} et $\vec{F}_{\alpha}^{\text{ext}}$ perpendiculaires à \hat{u}

$\vec{r}_{\alpha, \parallel} \wedge \vec{F}_{\alpha, \perp}^{\text{ext}}$ et $\vec{r}_{\alpha, \perp} \wedge \vec{F}_{\alpha, \parallel}^{\text{ext}}$ sont perpendiculaires à \hat{u}

- Ex.: pendule physique = solide soumis à la pesanteur et libre de osciller autour d'un axe fixe horizontal



$$\frac{d\vec{L}_O}{dt} = \vec{M}_O^{\text{ext}}$$

$$I_{\Delta} \dot{\omega} = (\overrightarrow{OG} \wedge m\vec{g}) \cdot \hat{u} = (\overrightarrow{OP} \wedge m\vec{g}) \cdot \hat{u} + (\overrightarrow{PG} \wedge m\vec{g}) \cdot \hat{u}$$

$$I_{\Delta} \ddot{\phi} = (\overrightarrow{PG} \wedge m\vec{g}) \cdot \hat{u} = -Lmg \sin \phi$$

$$\ddot{\phi} + \frac{mgL}{I_{\Delta}} \sin \phi = 0$$

$$\begin{aligned} I_{\Delta} &= I_{G,u} + md^2 = \\ &\frac{1}{12}m(a^2 + c^2) + mL^2 \end{aligned}$$

- pendule mathématique:
toute la masse m est en G ($I_{\Delta} = mL^2$)

$$\ddot{\phi} = -\frac{g}{L} \sin \phi$$

8.6: Dynamique du solide avec axe fixe

Conservation énergie mécanique

$$V = -mgL \cos \phi$$

$$\begin{aligned} K &= \frac{1}{2}mv_G^2 + \frac{1}{2}I_{G,u}\omega^2 = \frac{1}{2}mL^2\omega^2 + \frac{1}{2}I_{G,u}\omega^2 \\ &= \frac{1}{2}(mL^2 + I_{G,u})\omega^2 \end{aligned}$$

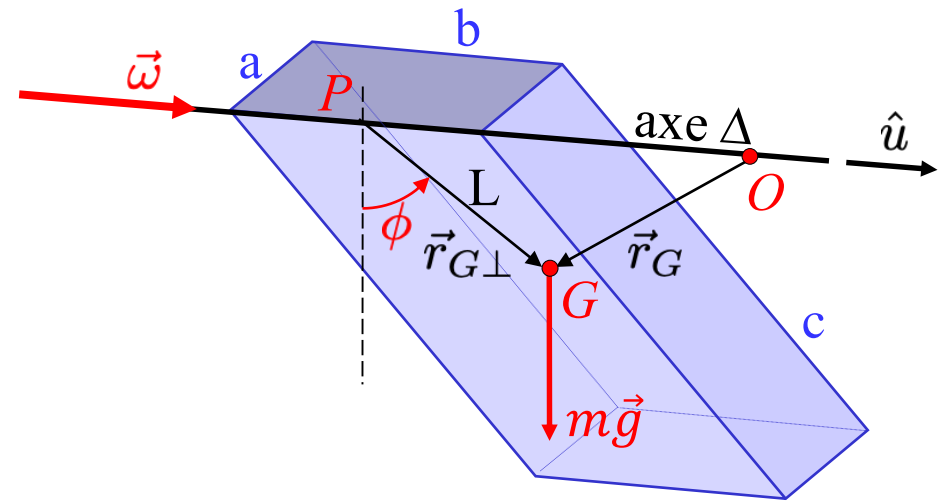
$$\frac{1}{2}(mL^2 + I_{G,u})\omega^2 - mgL \cos \phi = cte$$

On dérive par rapport à t ($\omega(t) = \dot{\phi}(t)$)

$$(mL^2 + I_{G,u})\ddot{\phi}\dot{\phi} + mgL \sin \phi \dot{\phi} = 0$$

$$\ddot{\phi} + \frac{mgL}{I_\Delta} \sin \phi = 0$$

Théorème du moment cinétique



$$I_\Delta \dot{\omega} = (\overrightarrow{OG} \wedge m\vec{g}) \cdot \hat{u} = (\overrightarrow{OP} \wedge m\vec{g}) \cdot \hat{u} + (\overrightarrow{PG} \wedge m\vec{g}) \cdot \hat{u}$$

$$I_\Delta \ddot{\phi} = (\overrightarrow{PG} \wedge m\vec{g}) \cdot \hat{u} = -Lmg \sin \phi$$

$$\ddot{\phi} + \frac{mgL}{I_\Delta} \sin \phi = 0$$

$$\begin{aligned} I_\Delta &= I_{G,u} + md^2 = \\ &\frac{1}{12}m(a^2 + c^2) + mL^2 \end{aligned}$$

8.6: Calcul du centre de percussion

- Pendule physique interrompu dans sa course:

- Une barre de longueur L et masse M tourne autour d'un axe fixe perpendiculaire à la feuille et passant par le point O à l'extrémité de la barre:
- Juste avant le choc ($t = 0$): $v_G = \omega d$,
- Juste après le choc ($t = \Delta t$): $v_G = 0, \omega = 0$ (point G fixe)
- A quelle distance D de O il faut appliquer la butée pour que la barre s'arrête sans avoir de extra forces appliquées en O ?

La force appliquée par la butée ainsi que la durée du choc sont inconnus, mais on peut écrire:

$$\Delta p_x = 0 - Mv_G = \int_0^{\Delta t} -F(t)dt$$

$$\Delta L_{G,z} = 0 - I_G \omega = -d' \int_0^{\Delta t} F(t)dt$$

$$I_G = \frac{1}{12} ML^2 = \frac{L}{2} d'M$$

$$Mv_G = \int_0^{\Delta t} F(t)dt$$

$$I_G \omega = d' \int_0^{\Delta t} F(t)dt$$



$$I_G \omega = d' M v_G = d' M \omega d$$



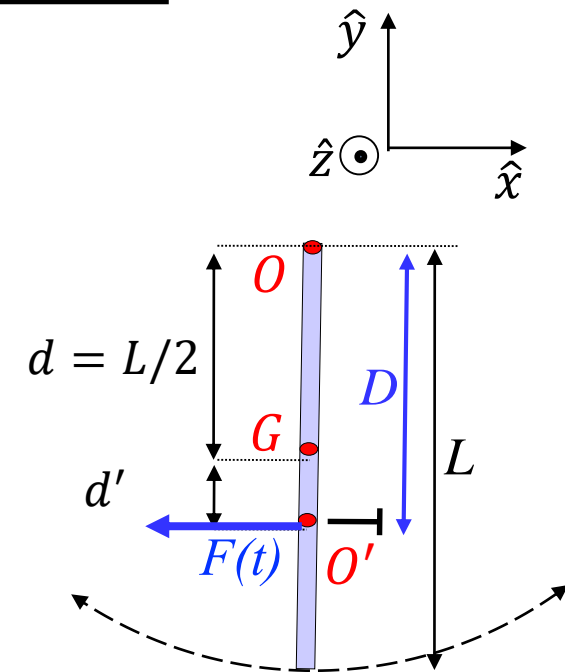
$$I_G = d' d M = \frac{L}{2} d' M$$



$$d' = \frac{L}{6}$$



$$D = d + d' = \frac{2}{3} L$$

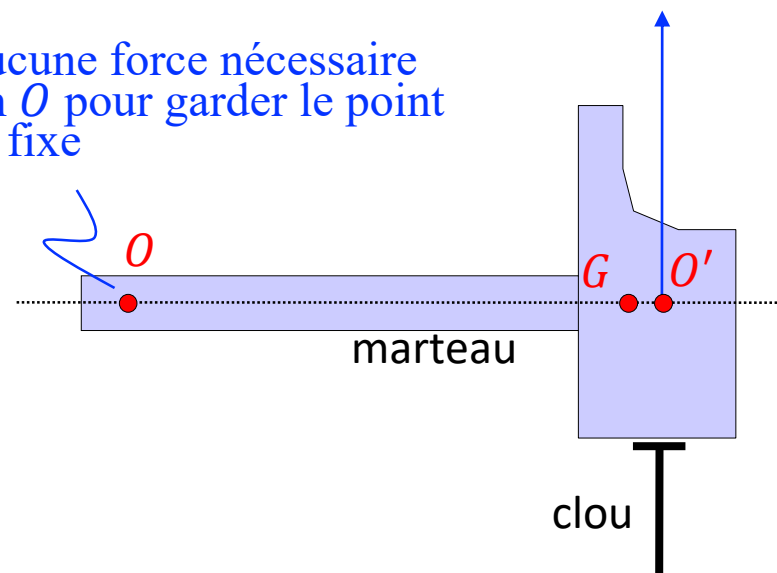


8.6: Calcul du centre de percussion

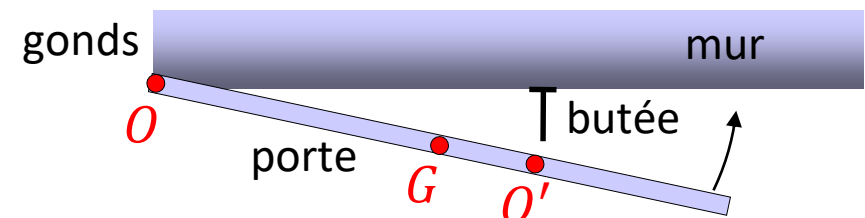
- Solide libre de tourner autour d'un axe fixe passant par O
- Centre de percussion:
 - point O' sur la droite OG tel qu'un choc (percussion) appliqué en ce point (perpendiculairement à OG) n'engendre aucune réaction (répercussion) de l'axe de rotation sur le solide

force exercée par le clou sur le marteau

aucune force nécessaire en O pour garder le point O' fixe



- Exemples et applications:
 - Marteau
 - où le tenir ?
 - Raquette de tennis, batte de baseball,
 - où frapper la balle ?
 - Butée de porte
 - où la placer ?



butée placée au centre de percussion:
aucune force appliquée sur les gonds
(charnières)

8.7: Rotation autour d'un axe fixe

- Toupie symétrique avec un point fixe:

- Le moment du poids par rapport au point fixe C est constamment perpendiculaire au moment cinétique \Rightarrow la norme du moment cinétique reste constante: $\vec{L}_C = I_\Delta \vec{\omega} = I_\Delta \omega \hat{e}_\Delta$
- L'axe de rotation propre a un **mouvement de précession** autour de l'axe vertical avec vitesse angulaire Ω

$$\vec{M}_C = \frac{d\vec{L}_C}{dt} = I_\Delta \omega \frac{d\hat{e}_\Delta}{dt} = I_\Delta \omega \vec{\Omega} \wedge \hat{e}_\Delta = \vec{\Omega} \wedge \vec{L}_C$$

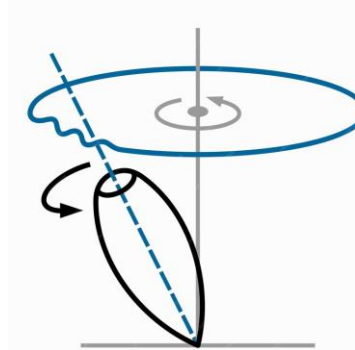
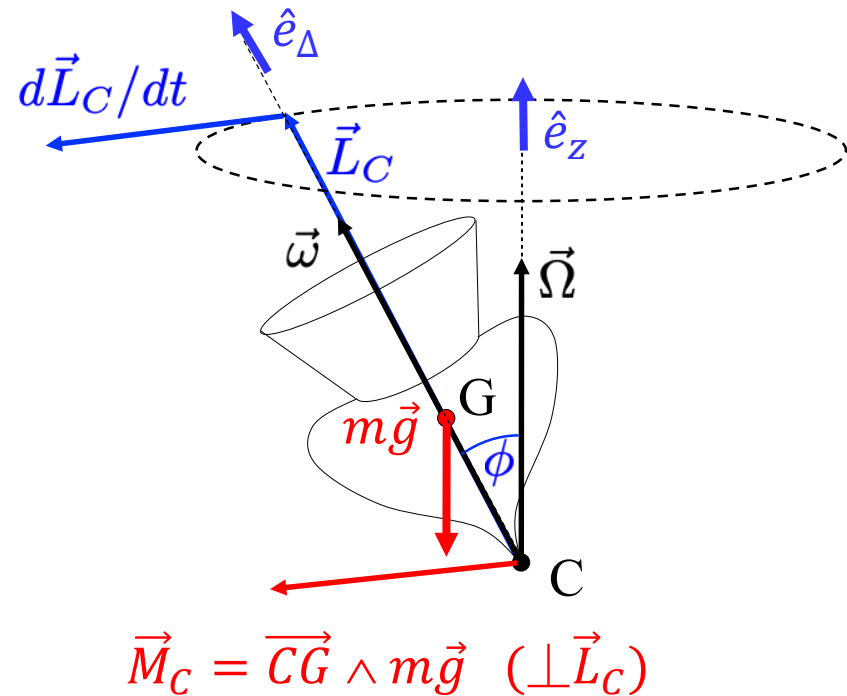
- Note: on a négligé le moment cinétique causé par la rotation Ω ($\vec{L}_C = \tilde{I}_C \cdot (\vec{\omega} + \vec{\Omega}) \cong \tilde{I}_C \cdot \vec{\omega} = I_\Delta \omega \hat{e}_\Delta$) ! valable si $\Omega \ll \omega$

$$CG mg \sin \phi = \Omega L_C \sin \phi$$

$$\Omega = \frac{CG mg}{L_C} = \frac{CG mg}{I_\Delta \omega}$$

La vitesse de précession est inversement proportionnelle à la vitesse de rotation propre de la toupie

- Cas général: ϕ n'est pas constant mais oscille entre deux extrêmes (**mouvement de nutation**)



8.6 Pendule physique tournant: angle d'équilibre

- Rotation uniforme autour d'un axe vertical fixe passant par O
- Dans repère d'inertie $G\hat{e}_1\hat{e}_2\hat{e}_3$

$$\vec{\omega} = \omega \sin \alpha \hat{e}_1 - \omega \cos \alpha \hat{e}_2$$

$$\vec{L}_G = \tilde{I}_G \cdot \vec{\omega} = \frac{1}{12} mL^2 \omega \sin \alpha \hat{e}_1$$

$$\frac{d\vec{L}_G}{dt} = \omega \wedge \vec{L}_G = \frac{1}{12} mL^2 \omega^2 \sin \alpha \cos \alpha \hat{e}_3$$

$$\tilde{I}_G = \begin{pmatrix} \frac{1}{12} mL^2 & 0 & 0 \\ 0 & 0 & 0 \\ 0 & 0 & \frac{1}{12} mL^2 \end{pmatrix}$$

- Théorème du moment cinétique :

$$\frac{d\vec{L}_G}{dt} = \overrightarrow{GO} \wedge \vec{T} = \frac{L}{2} T \sin(\alpha - \beta) \hat{e}_3 = \frac{L}{2} T (\sin \alpha \cos \beta - \cos \alpha \sin \beta) \hat{e}_3$$

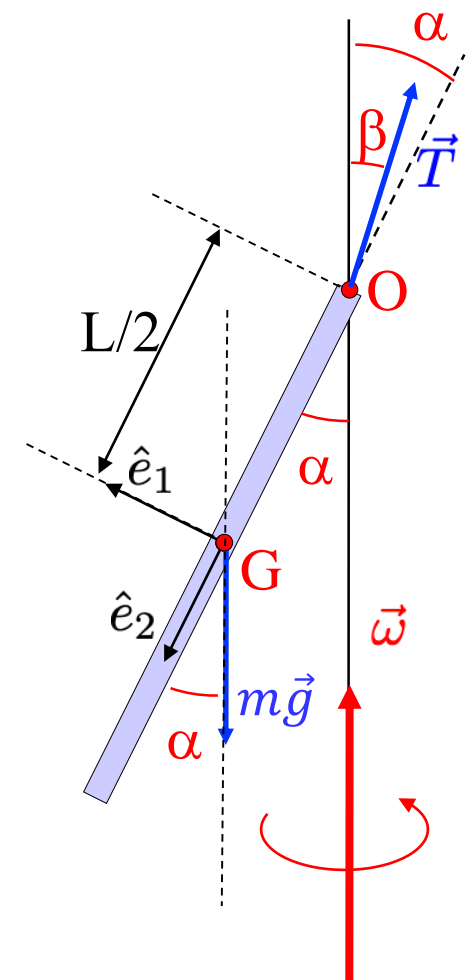
- Théorème du centre de masse :

$$m\vec{a}_G = m\vec{g} + \vec{T} \Rightarrow \begin{cases} T \cos \beta = mg \\ T \sin \beta = m\omega^2 \frac{L}{2} \sin \alpha \end{cases}$$

$$\frac{1}{12} mL^2 \omega^2 \sin \alpha \cos \alpha = \frac{L}{2} (mg \sin \alpha - \cos \alpha m\omega^2 \frac{L}{2} \sin \alpha)$$

$$\frac{1}{3} L^2 \omega^2 \cos \alpha = \frac{L}{2} g$$

$$\cos \alpha = \frac{3}{2} \frac{g}{L \omega^2}$$



8.6 Pendule physique tournant (version alternative)

- Rotation uniforme autour d'un axe vertical fixe passant par O
- Dans repère d'inertie $O\hat{e}_1\hat{e}_2\hat{e}_3$
- Par la formule de Steiner

$$\tilde{I}_O = \tilde{I}_G + m \begin{pmatrix} \frac{L^2}{4} & 0 & 0 \\ 0 & 0 & 0 \\ 0 & 0 & \frac{L^2}{4} \end{pmatrix} = \begin{pmatrix} \frac{mL^2}{12} + \frac{mL^2}{4} & 0 & 0 \\ 0 & 0 & 0 \\ 0 & 0 & \frac{mL^2}{12} + \frac{mL^2}{4} \end{pmatrix}$$

$$\vec{\omega} = \omega \sin \alpha \hat{e}_1 - \omega \cos \alpha \hat{e}_2$$

$$\vec{L}_O = \tilde{I}_O \cdot \vec{\omega} = \left(\frac{mL^2}{12} + \frac{mL^2}{4} \right) \omega \sin \alpha \hat{e}_1$$

$$\frac{d\vec{L}_O}{dt} = \omega \wedge \vec{L}_O = \left(\frac{mL^2}{12} + \frac{mL^2}{4} \right) \omega^2 \sin \alpha \cos \alpha \hat{e}_3$$

- Théorème du moment cinétique :

$$\frac{d\vec{L}_O}{dt} = \overrightarrow{OG} \wedge m\vec{g} = \frac{L}{2} mg \sin \alpha \hat{e}_3$$

$$\frac{L}{2} mg \sin \alpha = \left(\frac{mL^2}{12} + \frac{mL^2}{4} \right) \omega^2 \sin \alpha \cos \alpha = \frac{mL^2}{3} \omega^2 \sin \alpha \cos \alpha$$



$$\cos \alpha = \frac{3}{2} \frac{g}{L \omega^2}$$

